

К 70-летию профессора Э. Лукевича

Т. В. Глухарева, П. Е. Кропотина, М. Ф. Костерина,
Ю. И. Нейн, Е. В. Деева, Ю. Ю. Моржерин

СТЕРЕОСЕЛЕКТИВНЫЙ СИНТЕЗ
НОВОЙ СПИРОСОЧЛЕНЕННОЙ ГЕТЕРОЦИКЛИЧЕСКОЙ СИСТЕМЫ
2,3,4,4a,5,6-ГЕКСАГИДРО-6Н-СПИРО-
[БЕНЗО[с]ХИНОЛИЗИН-5,4'-ПИРАЗОЛ]-5'-ОНОВ

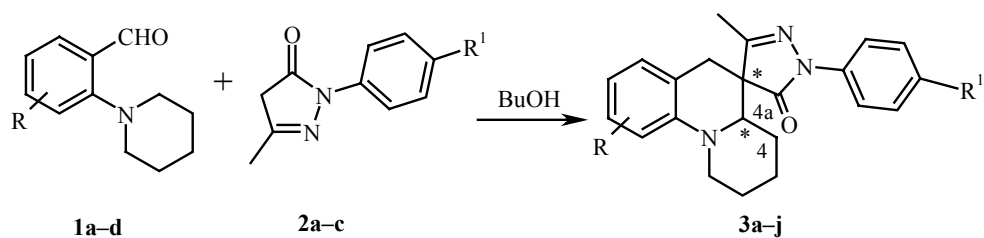
Осуществлен синтез 2,3,4,4a,5,6-гексагидро-6Н-спиро[бензо[с]хинолизин-5,4'-пиразол]-5'-онов реакцией 2-пиперидинобензальдегидов с 5-метил-2-арил-2,4-дигидропиразол-3-оном по механизму "*трет*-аминоэффект".

Ключевые слова: пиразол-3-он, спирогетероциклы, хинолизин, *трет*-аминоэффект, конденсация Кневенагеля.

Термин "*трет*-аминоэффект" был предложен Мет-Коном и Сушицким [1] для обобщения реакций циклизации некоторых производных *ортого*-замещенных N,N-диалкиланилинов. Циклизации, протекающие по ненасыщенному α -атому углерода в диалкиламиногруппе, были описаны для соединений с ненасыщенным *ортого*-заместителем (A=B), включающим, по крайней мере, один гетероатом (нитрозо-, азо-, азометино-, нитро-, амино- или карбонильная функции) [2]. Группой профессора Рейнхоудта было установлено, что в циклизацию также вступают N,N-диалкиланилины с винильным заместителем в *ортого*-положении [3]. Эти реакции являются оригинальным способом образования связей C—C с фактически не активированной группой NCH₂ [4].

Ранее нами было показано [5–8], что при взаимодействии 2-диалкиламиnobензальдегидов с циклическими CH-активными соединениями (производные 1,3-циклогександиона, кислоты Мелдума, барбитуровой кислоты) протекает tandem реакций конденсации Кневенагеля и циклизации по механизму *трет*-аминоэффекта [9]. Было установлено, что эти реакции протекают стереоселективно [4, 10–12].

Целью данной работы являлось исследование взаимодействия 2-пиперидинобензальдегидов **1a–d** с 2-арил-5-метил-2,4-дигидропиразол-3-онами **2a–c**. Реакцию проводили при кипячении в бутаноле. В результате взаимодействия образуются 3'-метил-1'-фенил-2,3,4,4a,5,6-гексагидро-6Н-спиро[бензо[с]хинолизин-5,4'-пиразол]-5'-оны **3a–j** (табл. 1). Продукты реакции содержат два асимметрических центра, следовательно, возможно образование двух диастереоизомеров. Было показано, что реакция протекает стереоселективно и приводит к образованию преимущественно (до 95–98%) одного диастереомера.



1 a R = H, **b** R = Cl-4, **c** R = Br-5, **d** R = CF₃-5; **2 a** R¹ = H, **b** R¹ = Cl, **c** R¹ = CO₂Et; **3 a–c** R = H, **a** R¹ = H, **b** R¹ = Cl, **c** R¹ = CO₂Et; **d** R = Cl-9, R¹ = H, **e–g** R = Br-8, **e** R¹ = H, **f** R¹ = Cl, **g** R¹ = CO₂Et; **h–j** R = CF₃-8, **h** R¹ = H, **i** R¹ = Cl, **j** R¹ = CO₂Et

В спектре ЯМР ¹Н основного продукта (табл. 2) реакции сигнал протона при атоме углерода в положении 4а регистрируется в виде дублета дублетов в области 3.13–3.18 м. д. Данный протон взаимодействует с большой константой 11.2–11.5 Гц с аксиальным атомом водорода в положении 4 и с маленькой константой 2.3–2.5 Гц с экваториальным протоном в том же положении. Таким образом, атом водорода в положении 4а находится в аксиальном положении.

Таблица 1

Характеристики соединений 3a–j

Соединение	Брутто-формула	Найдено, %			Т. пл, °C	Масс-спектр, m/z (I, %)	Выход, %
		C	H	N			
3a	C ₂₂ H ₂₃ N ₃ O	76.52 76.49	6.79 6.71	12.25 12.16	95	345 (100)	85
3b	C ₂₂ H ₂₂ ClN ₃ O	69.85 69.56	6.07 5.84	11.23 11.06	122	381 (31), 379 (100)	85
3c	C ₂₅ H ₂₇ N ₃ O ₃	72.11 71.92	6.77 6.52	10.34 10.06	123	417 (98)	90
3d	C ₂₂ H ₂₂ ClN ₃ O	69.66 69.56	5.98 5.84	11.38 11.06	76	381 (38), 379 (100)	87
3e	C ₂₂ H ₂₂ BrN ₃ O	62.35 62.27	5.54 5.23	10.12 9.90	96	425 (100), 423 (97)	85
3f	C ₂₂ H ₂₁ BrClN ₃ O	57.98 57.60	4.87 4.61	9.17 9.16	180	461 (22), 459 (100), 457 (97)	77
3g	C ₂₅ H ₂₆ BrN ₃ O ₃	60.67 60.49	5.37 5.28	8.77 8.46	113	497 (100), 495 (98)	76
3h	C ₂₃ H ₂₂ F ₃ N ₃ O	66.94 66.82	5.52 5.36	10.28 10.16	109		78
3i	C ₂₃ H ₂₁ ClF ₃ N ₃ O	61.78 61.68	5.01 4.73	9.55 9.38	168		82
3j	C ₂₆ H ₂₆ F ₃ N ₃ O ₃	64.48 64.32	5.51 5.40	9.02 8.65	97		75

Таблица 2

Спектры ЯМР ^1H соединений 3a–j

Соединение	Химические сдвиги, δ , м. д., (КCCВ, J , Гц)							
	H-1 (e), уш. д,	H-1 (a)	H-2 (e)	H-2 (a)	H-3 (e)	H-3 (a), м	H-4 (e)	H-4 (a), д.д.д.д
3a	4.09 (12.0)	2.67 (д. д, 12.0, 11.8)	1.79 (уш. д, 11.0)	1.54 (уш. д, 10.8)	1.56 (уш. д, 9.8)	1.35–1.41	1.78 (уш.д, 12.0)	1.04 (12.3, 11.6, 11.5, 3.3)
3b	4.09 (11.3)	2.60–2.80 (м)	1.65–1.89 (м)			1.25–1.65 (м)		1.02 (12.2, 11.9, 11.2, 3.5)
3c	4.10 (11.9)	2.64 (д. д, 11.9, 9.5)	1.68–1.88 (м)	1.68–1.88 (м)		1.35–1.55 (м)	1.34–1.29 (м)	1.03 (д.д.д.д, 12.5, 11.6, 11.5, 3.2)
3d	4.02 (11.5)	2.76 (уш. д, 5.8)	1.78 (уш. д, 15.4)	1.57 (уш. д, 10.5)	1.55 (уш. д, 10.1)	1.34–1.45	1.75 (уш. д, 12.1)	1.05 (12.6, 11.5, 3.0, 11.3)
3e	4.03 (12.3)	2.63–2.73 (м)	1.76 (уш. д, 14.2)	1.58 (уш. д, 12.5)	1.55 (уш. д, 11.9)	1.33–1.47	1.77 (уш. д, 14.8)	1.01 (12.4, 11.8, 3.0, 11.3)
3f	4.03 (11.6)	2.60–2.78 (м)	1.65–2.00 (м)		1.20–1.65 (м)		1.65–2.00 (м)	1.02 (д.д.д.д, 12.2, 11.9, 3.5, 11.6)
3g	4.10 (11.4)	2.66 (д.д, 9.6, 10.8)	1.68–1.88 (м)		1.35–1.55 (м)		1.68–1.88 (м)	1.06 (12.5, 11.6, 10.8, 3.2)
3h	4.13 (12.0)	2.63–2.75 (м)	1.70–1.87 (м)		1.25–1.68 (м)		1.70–1.87 (м)	1.00 (12.5, 12.0, 11.3, 3.6)
3i	4.15 (12.5)	2.70–3.00 (м)	1.70–2.00 (м)		1.25–1.75 (м)		1.70–2.00 (м)	1.03 (12.6, 12.0, 11.5, 3.0)
3j	4.09 (11.3)	3.00–3.15 (м)	1.76–2.00 (м)		1.35–1.60 (м)		1.76–2.00 (м)	1.02 (12.6, 11.7, 11.0, 3.1)

Окончание таблицы 2

Соединение	Химический сдвиг, δ , м. д., (КССВ, Гц)										
	H-4(a), д.д	H-6 (e), д	H-6 (a), д	H-7	H-8	H-9	H-10	CH ₃ , с	ArH ₂ -o, д	ArH ₂ -m	ArR ² -p
3a	3.14 (11.5, 2.5)	3.27 (16.3)	2.71 (16.3)	7.02 (д, 7.0)	7.10 (д.д, 7.3, 7.0)	6.67 (д.д, 7.3, 7.0)	6.95 (д, 7.0)	1.90	7.88 (8.3)	7.38 (д.д, 8.3, 8.5)	7.13 (1H, т, $J = 8.5$, ArH)
3b	3.14 (11.2, 2.5)	3.26 (16.5)	2.71 (16.5)	6.92 (д, 7.6)	7.09 (д.д, 7.6, 7.6)	6.67 (д.д, 7.6, 6.3)	6.83 (д, 6.3)	1.90 (9.0)	7.90 (9.0)	7.38 (д, 9.0)	
3c	3.14 (11.5, 2.5)	3.19 (16.5)	2.88 (16.5)	7.04 (д, 7.8)	7.13 (д.д, 7.6, 7.8)	6.71 (д.д, 7.6, 7.2)	7.02 (д, 7.2)	2.05	8.00 (c)		4.32 (2H, к, $J = 7.2$, OCH ₂); 1.33 (3H, т, $J = 7.2$, CH ₃)
3d	3.18 (11.3, 2.6)	3.19 (16.8)	2.72 (16.8)	6.95 (д, 9.0)	6.90 (д.д, 9.0, 2.8)		6.65 (д, 2.8)	1.90	7.88 (8.0)	7.38 (д.д, 7.8, 8.0)	7.15 (1H, т, $J = 7.8$, ArH)
3e	3.13 (11.3, 2.5)	3.22 (17.3)	2.73 (д, 17.3)	7.21–7.12 (м)	7.21–7.12 (м)	6.88 (д, 9.3)	1.91	7.88 (8.0)	7.38 (д.д, 7.8, 8.0)	7.14 (1H, т, $J = 7.8$, ArH)	
3f	3.13 (11.6, 2.4)	3.23 (16.5)	2.76 (16.5)	7.11 (c)		7.19 (д, 8.9)	6.90 (д, 8.9)	1.90 (9.1)	7.90 (9.1)	7.38 (д, 9.1)	
3g	3.18 (11.6, 2.4)	3.24 (16.5)	2.77 (16.5)	7.11 (c)		7.19 (д, 9.0)	6.89 (д, 9.0)	2.05	8.02 (c)		4.32 (2H, к, $J = 7.2$, OCH ₂); 1.33 (3H, т, $J = 7.2$, CH ₃)
3h	3.15 (11.3, 2.5)	3.26 (15.5)	2.83 (15.5)	7.06 (д, 8.9)	7.12–7.21 (м)		7.12– 7.21 (м)	1.89	7.88 (7.6)		7.50–7.20 (3H, м)
3i	3.25 (11.5, 2.1)	3.26 (15.3)	2.86 (15.3)	7.26 (c)		7.39 (д, 9.7)	7.08 (д, 9.7)	1.91	7.92 (8.8)	7.42 (д, 8.8)	
3j	3.22 (11.0, 2.8)	3.28 (16.5)	2.83 (16.5)	7.26 (c)		7.37 (д, 9.7)	7.08 (д, 9.7)	1.91	8.02 (c)		4.33 (2H, к, $J = 7.0$, OCH ₂); 1.39 (3H, т, $J = 7.0$, CH ₃)

Сигнал протона в положении 4а минорного изомера наблюдается в виде дублета с $J = 10$ Гц имещен в область слабого поля по сравнению с протоном основного изомера. Возможно, данный протон основного продукта попадает в область экранирования конуса анизотропии карбонильной группы, вследствие чего его сигнал сдвигается в область сильного поля. Вероятнее всего атом кислорода кетогруппы в минорном продукте реакции находится в аксиальном положении.

Таким образом, нами был разработан стереоселективный метод синтеза новой гетероциклической системы 1'-арил-3'-метил-2,3,4,4а,5,6-гексагидро-6Н-спиро[бензо[с]хинолизин-5,4'-пиразол]-5'-она.

ЭКСПЕРИМЕНТАЛЬНАЯ ЧАСТЬ

Контроль за ходом реакции и индивидуальностью синтезированных соединений проводили при помощи ТСХ на пластинах Silufol UV-254 в системах: этилацетат–гексан (1:10) и (1:5). Спектры ЯМР ^1H снимали на спектрофотометрах Bruker WM-250 (250 МГц) и Bruker DRX-500 (500 МГц) в ДМСО- d_6 , внутренний стандарт ТМС; масс-спектры – на спектрометре Varian MAT 311A при ионизирующем напряжении 70 эВ с прямым вводом образца в источник.

Получение 2-диалкиламинозамещенных бензальдегидов 1а–d (общая методика).

К раствору 14.14 ммоль соответствующего 2-фторбензальдегида в 8.0 мл ДМФА добавляют 15.55 ммоль пиperiцина и 2.17 г (15.55 ммоль) поташа. Кипятят в течение 5 ч. Окончание реакции определяют при помощи ТСХ. Далее реакционную массу охлаждают до комнатной температуры, добавляют 75 мл воды и продукт экстрагируют этилацетатом (3×60 мл). Объединенный органический экстракт промывают раствором хлористого аммония. Органический слой сушат над Na_2SO_4 , растворитель упаривают под вакуумом. Продукт кристаллизуют из этанола.

2-Пиперицинобензальдегид (1а). Выход 87%. Т. пл. 95 °C. Спектр ЯМР ^1H , δ, м. д. (J , Гц): 10.19 (1Н, с, CHO); 7.66 (1Н, д, $J = 6.1$, $J = 1.5$, ArH); 7.40–7.55 (1Н, м, ArH); 7.00–7.15 (2Н, м, ArH); 2.87–3.05 (4Н, м, 2CH₂), 1.30–1.81 (6Н, м, 3CH₂). Найдено, %: C 76.21; H 8.03; N 7.55. $\text{C}_{12}\text{H}_{15}\text{NO}$. Вычислено, %: C 76.16; H 7.99; N 7.40.

2-Пиперицин-4-хлорбензальдегид (1б). Выход 94%, масло. Спектр ЯМР ^1H , δ, м. д. (J , Гц): 10.15 (1Н, с, CHO); 7.74 (1Н, д, $J = 2.5$, ArH); 7.61 (2Н, д, $J = 9.2$, $J = 2.3$, 2ArH); 7.18 (1Н, д, $J = 9.2$, ArH); 3.00–3.04 (4Н, м, 2CH₂); 1.32–1.86 (6Н, м, 3CH₂). Найдено, %: C 64.65; H 6.39; N 6.35. $\text{C}_{12}\text{H}_{14}\text{ClNO}$. Вычислено, %: C 64.43; H 6.31; N 6.26.

5-Бром-2-пиперицинобензальдегид (1с). Выход 53%. Т. пл. 75 °C. Спектр ЯМР ^1H , δ, м. д. (J , Гц): 10.10 (1Н, с, CHO); 7.72 (1Н, д, $J = 2.3$, ArH); 7.59 (2Н, д, $J = 8.8$, $J = 2.8$, 2ArH); 7.07 (1Н, д, $J = 8.5$, ArH); 3.08 (4Н, м, 2CH₂); 1.30–1.81 (6Н, м, 3CH₂). Найдено, %: C 53.86; H 5.29; N 5.31. $\text{C}_{12}\text{H}_{14}\text{BrNO}$. Вычислено, %: C 53.75; H 5.26; N 5.22.

2-Пиперицин-5-трифторметилбензальдегид (1д). Выход 78%. Т. пл. 82 °C. Спектр ЯМР ^1H , δ, м. д. (J , Гц): 10.10 (1Н, с, CHO); 7.90 (1Н, с, ArH); 7.73 (2Н, д, $J = 8.6$, ArH); 7.25 (1Н, д, $J = 8.6$, ArH); 3.13–3.18 (4Н, м, 2CH₂); 1.50–1.88 (6Н, м, 3CH₂). Найдено, %: C 60.82; H 5.55; N 5.55. $\text{C}_{13}\text{H}_{14}\text{F}_3\text{NO}$. Вычислено, %: C 60.70; H 5.49; N 5.44.

Получение 1'-арил-3'-метил-2,3,4,4а,5,6-гексагидро-6Н-спиро[бензо[с]хинолизин-5,4'-пиразол]-5'-онов 3а–j (общая методика).

К раствору 2.3 ммоль бензальдегида **1а–d** в 20 мл бутанола добавляют 2.3 ммоль 2-арил-5-метил-2,4-дигидропиразол-3-она **2а–c** и кипятят реакционную массу в течение 3 ч. Окончание реакции определяют по ТСХ. Затем реакционную массу охлаждают до комнатной температуры. Растворитель упаривают под вакуумом, остаток растирают с этанолом. Физико-химические и спектральные характеристики приведены в табл. 1 и 2.

Авторы благодарят Фонд поддержки отечественной науки и Совет при президенте РФ (грант МК-1280.2005.3).

СПИСОК ЛИТЕРАТУРЫ

1. O. Meth-Cohn, H. Suschitzky, *Adv. Heterocycl. Chem.*, **14**, 211 (1972).
2. W. Verboom, D. N. Reinhoudt, *Rec. Trav. Chim. Pay-Bas.*, **109**, 311 (1990).
3. W. H. N. Nijhuis, W. Verboom, A. Abu El-Fadl, G. J. van Hummel, D. N. Reinhoudt, *J. Org. Chem.*, **54**, 209 (1989).
4. N. Kaval, B. Halasz-Dajka, G. Vo-Thanh, W. Dehaen, J. Van der Eycken, P. Mátyus, A. Loupyc, E. Van der Eycken, *Tetrahedron*, **61**, 9052 (2005).
5. E. B. Дьяченко, Т. В. Глухарева, Ю. Ю. Моржерин, *XTC*, 1737 (2003). [*Chem. Heterocycl. Comp.*, **39**, 1532 (2003)].
6. Е. В. Дьяченко, Т. В. Глухарева, Е. Ф. Николаенко, А. В. Ткачев, Ю. Ю. Моржерин, *Изв. AH, Сер. хим.*, 1191 (2004).
7. O. S. Eltsov, E. V. D'yachenko, T. V. Glukhareva, Yu. Yu. Morzherin, *Mendeleev Commun.*, 119 (2005).
8. E. V. D'yachenko, T. V. Glukhareva, L. V. Dyudya, O. V. Eltsov, Yu. Yu. Morzherin, *Molecules*, **10**, 1101 (2005).
9. O. Meth-Cohn, H. Suschitzky, *Adv. Heterocycl. Chem.*, **56**, 1 (1996).
10. O. Elias, L. Karolyhazy, G. Horvath, V. Harmat, P. Mátyus, *J. Mol. Struct. (Theochem)*, **666-667**, 625 (2003).
11. Е. В. Деева, Т. В. Глухарева, Н. А. Зыбина, Ю. Ю. Моржерин, *Изв. AH, Сер. хим.*, 1492 (2005).
12. E. V. Deeva, T. V. Glukhareva, A. V. Tkachev, Yu. Yu. Morzherin, *Mendeleev Commun.*, **16**, 82 (2006).

Уральский государственный технический
университет – УПИ,
Екатеринбург 620002 Россия
e-mail: morzherin@htf.ustu.ru

Поступило 07.08.2006